



کاری اسلامی و شناخت پروتولیت گنایس‌های شمال دریاچه‌ی سد زاینده‌رود، شمال شهرکرد (پهنه‌ی سندج – سیرجان)

علیرضا داوودیان دهکردی^{*}، اشرف حیدری، ناهید شبانیان بروجنی، آرزو مرادی

دانشکده منابع طبیعی و علوم زمین، دانشگاه شهرکرد

(دریافت مقاله: ۹۵/۲/۲۵، نسخه نهایی: ۹۵/۵/۲۸)

چکیده: گنایس‌های حاشیه‌ی شمالی دریاچه‌ی سد زاینده‌رود از نظر ساختار زمین‌شناسی در پهنه‌ی زمین‌ساختی سندج – سیرجان قرار گرفته است. این گنایس‌ها همراه با توده‌های متابازیت و مرمرهای فنتزیت‌دار بخشی از واحدهای فشار بالای همتافت دگرگونی شمال شهرکرد را تشکیل می‌دهند. از نظر کاری‌شناسی این سنگ‌ها دارای کوارتز، گارنت، فنتزیت، بیوتیت، فلدسپار قلیایی، آلتیت، تورمالین و روتیل به همراه دانه‌های زیرکن هستند. به منظور شناخت خاستگاه آذربین (ارتو) یا خاستگاه رسوبی (پارا) این گنایس‌ها، از شواهدی نظیر روابط صحرایی (تناب و واحدهای سنگی وابسته به گنایس‌های مورد بررسی)، کاری‌شناسی و از شواهد ژئوشیمیایی نظیر نمودار P_2O_5/TiO_2 در مقابل MgO/CaO ، مقادیر نیگلی c در برابر alk و ti ، $al-alk$ ، $frawani$ و Ni استفاده شدند که تمامی شواهد دال بر وجود پروتولیت رسوبی (پارا) برای گنایس‌های مورد بررسی است. مجموعه‌ی کاری‌شناسی یک پروتولیت رسوبی (پاراگنایس) را نشان می‌دهد. ترکیب شیمیایی سنگ خاستگاه، حاصل از منابع آذربین فلزیک پوسته‌ای تکامل یافته است که در نمودار Ni در مقابل Cr نمونه‌ها تماماً در گسترده‌ی اوخر آرکئن تا بعد از آرکئن قرار گرفته‌اند. شواهد بدست آمده (بویژه شواهد ژئوشیمیایی) نشان می‌دهند که این سنگ‌ها برخلاف آنچه قبلاً ارتوگنایس‌هایی با سن اوایل نئوپروتروزونیک تصور شده، دارای خاستگاه رسوبی هستند. پروتولیت این سنگ‌ها در موقعیت زمین‌ساختی حاشیه‌ی فعلی قاره‌ای یا حوزه‌ی پشت کمان تشکیل شده است.

واژه‌های کلیدی: مقادیر نیکلی، پاراگنایس، حوضه‌ی پشت کمان، حاشیه‌ی فعلی قاره‌ای، دگرگونی شمال شهرکرد، پهنه‌ی سندج – سیرجان

آذربین شامل اکلوزیت‌ها، آمفیبولیت‌ها، ارتوگنایس‌ها و متابازنیت‌های بوده و سنگ‌های دگرگونی و دگرشکل شده با خاستگاه رسوبی منطقه، عبارتند از شیسته‌ها، پاراگنایس‌ها و مرمرهای آهکی-دولومیتی هستند [۱]. گنایس مورد بررسی از نظر گسترش جغرافیایی نسبت به شیسته‌ها گستردگی کمتری داشته و همانند سنگ‌های دگرگون دیگر با درجه‌ی بالا عبارتند از اکلوزیت‌ها و آمفیبولیت‌ها، محدود به قلمرو بخش مرکزی پهنه‌ی بشی شمال شهرکرد هستند.

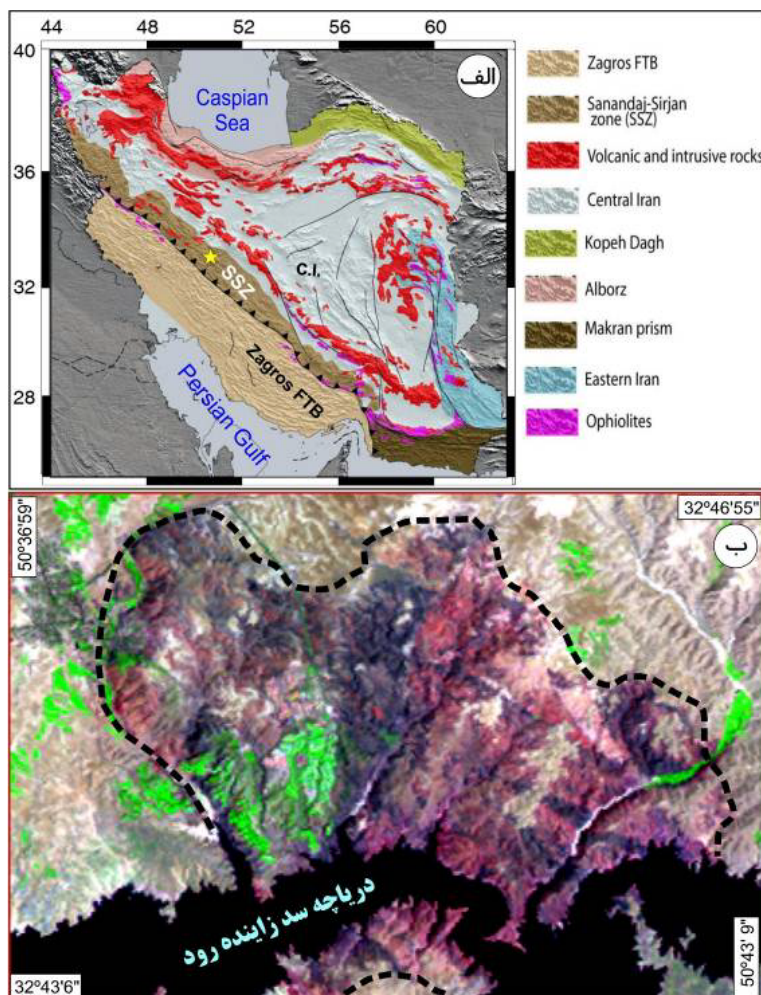
مقدمه

منطقه‌ی مورد بررسی در شمال شهرکرد و حاشیه‌ی شمالی دریاچه‌ی سد زاینده‌رود در گستره‌ای به طول های جغرافیایی $۴۴^{\circ} ۴۶' ۵۰''$ تا $۴۴^{\circ} ۴۶' ۳۵'$ و عرض های جغرافیایی $۳۷^{\circ} ۳۲' ۴۷''$ تا $۳۷^{\circ} ۴۲' ۴۲''$ شمالی قرار گرفته است (شکل ۱). با توجه به شواهد صحرایی مهم‌ترین سنگ‌های دگرگون و دگرشکل شده‌ی رخنمون یافته در همتافت دگرگونی شمال شهرکرد را می‌توان به دو دسته با خاستگاه آذربین و رسوبی رده‌بندی کرد. سنگ‌های دگرگون با خاستگاه

تشخیص پروتولیت (سنگ خاستگاه یا سنگ مادر) یک سنگ دگرگون از جمله مهمترین مراحل در تجزیه و تحلیل پهنه‌های دارای سنگ‌های دگرگونی با درجه بالاست [۵،۶]. این موضوع به ویژه در نواحی که دگرشکلی شدید تمامی ساختارها و بافت‌های اولیه را محو کرده است و یا در نواحی که یک لایه‌بندی فرآگیر از ترکیب فرآیندهای دگرگونی و ساختاری حاصل شده باشد، امری مشکل و پیچیده خواهد بود. به عنوان مثال، برخی از مشکل‌ترین و پیچیده‌ترین مشکلات در این خصوص، عبارتند از تشخیص این نکته که آیا یک گنایس خاکستری لایه‌دار از یک سنگ رسوبی نوع گرایوک ریشه گرفته، یا از یک سنگ گرانیتوئید، و اینکه بین سنگ رسوبی آواری، توف یا گدازه در یک دنباله در سطح پوسته‌ای بتوان تمایز قائل شد [۵].

این پاراگنایس‌ها معمولاً میزبان اکلوژیت‌ها و آمفیبولیت‌ها هستند که غالباً این دو گروه سنگ به صورت عدسی یا بلوك‌هایی با ابعاد چند متر تا چند ده متر دیده می‌شوند که به صورت سنگ‌های دگرگونی در ژوراسیک زیرین دگرگون شده‌اند [۲،۱].

در صورتی که [۳] سنگ‌های مورد بررسی در این پژوهش را ارتوگنایس فرض کرده و با سن‌سنجی به روش U-Pb روی کانی‌های زیرکن سن 637 ± 17 Ma (اوائل نئوپروتروزوئیک) را برای ارتوگنایس‌ها برآورد کرده است. همچنین بلورهای زیرکن را مانگمایی اولیه فرض می‌کند و اشتراق پروتولیت مانگمایی ارتوگنایس‌ها را حاصل اختلاط مواد ناشی از ذوب بخشی سنگ‌های پوسته‌ی نازک اوائل نئوپروتروزوئیک و سنگ‌های آرکئن می‌داند.



شکل ۱ االف: موقعیت منطقی مورد بررسی در تصویر واحدهای ساختاری ایران [۶] که با ستاره زرد نشان داده شده است. ب: نمایش گستره‌ی خط چین (مورد بررسی (شمال دریاچه زانده‌رود) روی تصویر ماهواره‌ای لنست ۷ (سنجدنده ETM+، ترکیب نوارهای ۷۴۲ به منظور دستیابی به بهترین تفکیک‌پذیری سنگ‌شناسی در منطقه انتخاب شده است).

خرد و سپس با استفاده از یک پودرساز دیسکی پنوماتیکی نمونه‌های خرد شده تا اندازه‌ی کوچکتر از ۲۰۰ مش پودر شدند. از این ۹ نمونه، تعداد ۷ نمونه به روش ICP-ES و ICP-MS در آزمایشگاه ACME ونکور کشور کانادا و دو نمونه دیگر نیز به روش XRF در گروه زمین‌شناسی دانشگاه سالزبورگ اتریش مورد آنالیز سنگ کل قرار گرفتند که نتایج آنها در جدول ۱ ارایه شده‌اند. دقت تشخیص به روش ICP-ES برای اکسید عناصر اصلی ۱٪ تا ۰٪ بوده و برای عناصر کمیاب بین ۰/۱ تا ۰/۵ ppm بوده‌اند.

موقعیت زمین‌شناسی

منطقه‌ی مورد بررسی در پهنه‌ی ساختاری سنندج - سیرجان و زیرپهنه‌ی با دگرشکلی پیچیده قرار گرفته است [۹]. بخش عمده‌ای از زیر پهنه‌ی، با دگرشکلی پیچیده حاوی آواری‌های دگرگون شده مزوژوئیک، کربنات‌ها و برخی از سنگ‌های آتشفشاری هستند، هر چند یافته‌های جدید نشان می‌دهند که بسیاری از سنگ‌های دگرگون و دگرشکل در این زیرپهنه دارای پروتولیت آذرین یا رسویی قدیمی یعنی به سن انتهای نئوپروتروزئیک هستند [۱۰، ۱۱]. به عنوان مثال برخلاف تصور [۱۲] سن پروتولیت سنگ‌های دگرگون و دگرشکلی همتافت زان در غرب کشور، مزوژوئیک-پالئوزوئیک نبوده بلکه انتهای نئوپروتروزئیک می‌باشد [۱۳]. علاوه بر این در همتافت دگرگون سورسات واقع در شمال غرب ایران به عنوان بخشی از پهنه سنندج - سیرجان، مجموعه‌های پی‌سنگ مشتمل بر گرانیت‌ها و گرانیت‌های میلونیتی به نئوپروتروزئیک و کامبرین زیرین حضور دارند که با استفاده از سن‌سنجی U-Pb در کانی زیرکن با دستگاه LA-ICP-MS بدست آمده است [۱۱]. بطور کلی درباره پی‌سنگ پرکامبرین این پهنه‌ی مهم ساختاری اطلاعات روشنی در دست نیست. برخی از گزارش‌ها حاکی از آن است که این پی‌سنگ از آمفیبولیت، گنایس و آمفیبولیت-شیست تشکیل شده است. در پهنه‌ی سنندج - سیرجان از ناحیه‌ی شهرکرد به سمت بروجرد قدیمی‌ترین سنگ‌های شناخته شده، گرانیت‌ها و گنایس‌های پان-آفریکن پیش از کامبرین جدید هستند که اغلب بواسطه توالی‌های پالئوزوئیک، مزوژوئیک و واحدهای اوائل سنوزوئیک رورانده شده‌اند [۱۰].

زیر پهنه‌ی با دگرشکلی پیچیده به موازات و در مجاورت تراست زاگرس (زمین‌درزه‌ی بین پهنه‌ی سنندج - سیرجان و صفحه‌ی

شواهد پاراگنایس بودن و یا ارتونگنایس بودن سنگ‌های مورد بررسی را می‌توان در قالب سه گروه شاهد مورد ارزیابی قرار داد:

۱- شواهد صحرایی: از روابط صحرایی، تناوب واحدهای سنگی وابسته به گنایس مورد بررسی، ترکیبات سنگ‌های همراه، درجات مختلف دگرگونی و سن واحدهای سنگی منطقه، می-توان به عنوان ابزاری برای شناسایی پروتولیت سنگ مورد بررسی استفاده کرد.

۲- حضور برخی از کانی‌ها می‌تواند شاهدی بر پارا و یا ارتون بودن گنایس‌ها باشد، به عنوان مثال پیدایش کانی‌های غنی از Al نظیر سیلیمانیت، کروندوム، سافیرین، کورنزوین و اسومیلیت معمولاً شاخص‌هایی در تشخیص سنگ‌های رسویی هستند [۷، ۸]، البته مشروط به آنکه سنگ رسویی نظیر یک پلیت غنی از Al باشد. در برخی مواقع زیرکن‌های تخریبی معمولاً بخوبی گردشده هستند که این امر نیز بیانگر خاستگاه رسویی آنهاست، که این در حالیست که زیرکن‌های با خاستگاه آذربین، به صورت خودشکل (اوثودرال) هستند.

۳- شواهد ژئوشیمیایی: داده‌های ژئوشیمیایی علاوه بر آنالیز کانی‌های سنگین در تلفیق با سنگ‌شناسی، ممکن است الگویی را فراهم سازد که قادر به تشخیص و جدایی بین سنگ‌های رسویی و آذربین گردد.

با توجه به شناسایی‌های متفاوت صورت گرفته روی پروتولیت گنایس، در این مقاله سعی براین است تا با استفاده از شواهد صحرایی و ژئوشیمیایی به بررسی خاستگاه و موقعیت زمین-ساختی گنایس‌های مورد بررسی پرداخته شود.

روش بررسی

پس از نمونه‌برداری از گنایس‌های منطقه که در برخی مواقع ظاهری چشمی نشان می‌دهند و ثبت مختصات جغرافیایی آنها با استفاده از GPS، تعداد ۳۵ مقطع نازک از نمونه‌های شاخص جهت دارد و ناجهت‌یافته تهیه شدند، و آنها با استفاده از میکروسکوپ قطبشی BX50 مورد بررسی دقیق سنگ‌نگاری قرار گرفتند. از بین نمونه‌های بررسی شده، ۹ نمونه که دارای کمترین میزان تجزیه و تخریب و فاقد آثاری از رگه و رگچه بودند برای آنالیز ژئوشیمیایی عناصر اصلی، کمیاب و نادر خاکی انتخاب شدند. ابتدا در آزمایشگاه جدایش کانی دانشگاه شهرکرد با استفاده از آسیاب فکی نمونه‌ها در حد چند میلی‌متر

دگرگونی، یک دگرگونی با فشار بالا – دمای پایین تا متوسط بوده که بر منطقه اثر گذاشته است، این فاز دگرگون درجه بالا، در اثر فاز دگرگونی رخساره آمفیبولیت دنبال می‌شود که بر خلاف فاز اول، شواهد بیشتری از آن قابل رویت‌اند. این فاز دگرگون رخساره آمفیبولیت با دگرشکلی شدید داکتیل و میلیونیتی شدن گستردۀ همراه بوده است [۱۴]. فاز سوم دگرگونی نیز سنگ‌های آتش‌شانی جوان‌تر به سن ژوراسیک پایانی را متأثر ساخته و آنها را در حد رخساره‌ی درجه پایین پرهنیت-اکتینیولیت دگرگون کرده است [۱]. آخرین فاز دگرشکلی نیز شکننده (بریتل) بوده و سبب خردش‌گی

عربی) یک مجموعه از سنگ‌های دگرگونی به طول بیش از ۱۰۰ کیلومتر را شامل می‌شود، این مجموعه حاوی سنگ‌های پرکامبرین شمال شهرکرد به علاوه همتافت ژان در اطراف شهر ازنا و الیگودرز است [۳].

همافت دگرگون شمال شهرکرد یک منطقه‌ی استثنایی است زیرا تنها منطقه‌ای در پهنه سندنج – سیرجان است که سنگ‌های دگرگون با فشار بالای رخساره‌ی اکلوژیت به صورت نسبتاً سالم در آن رخت‌مون دارند [۱۴، ۳]. این منطقه چندین فاز دگرگون و دگرشکل را پشت سر گذاشته است که سنگ‌های با خاستگاه رسوی و آذرین را متأثر ساخته‌اند. مهم‌ترین فاز

جدول ۱ نتایج بررسی‌های ICP-ES و ICP-MS و دو نمونه از نتایج XRF (با علامت × مشخص شده است) پاراگناس‌های مورد بررسی در منطقه‌ی شمال شهرکرد، مقادیر عناصر اصلی به صورت (ppm) و عناصر کمیاب و نادرخاکی بصورت (./wt%).

Sample	Paragiessses									
	HE 1-12	HE 1-1	HE 1-4	HE 2-4	HE 2-5	HE 3-3	HE 3-4	*M 20-12	*M 40-63	
SiO ₂	۶۰,۹۱	۶۳,۳۹	۶۶,۸۴	۶۴,۰۱	۶۳,۲۳	۶۳,۷۹	۶۷,۴۷	۶۸,۱۵	۶۵,۵۳	
TiO ₂	۰,۷۶	۰,۸۰	۰,۶۶	۰,۷۸	۰,۷۶	۱,۱۸	۰,۶۳	۰,۷۰	۰,۶۷	
Al ₂ O ₃	۱۶,۵۰	۱۶,۷۵	۱۵,۱۵	۱۷,۰۸	۱۶,۹۳	۱۵,۷۹	۱۵,۰۱	۱۳,۴۳	۱۶,۰۶	
Fe ₂ O ₃ *	۶,۸۶	۶,۰۳	۴,۶۱	۵,۸۷	۵,۸۵	۶,۴۴	۳,۹۸	۵,۴۴	۴,۹۱	
MnO	۰,۱۴	۰,۰۲	۰,۰۴	۰,۰۲	۰,۰۲	۰,۰۵	۰,۰۳	۰,۰۴	۰,۰۶	
MgO	۳,۴۹	۲,۷۴	۲,۸۷	۲,۲۱	۲,۲۵	۲,۷۳	۲,۶۲	۲,۹۴	۲,۱۳	
CaO	۰,۵۷	۰,۵۳	۰,۷۴	۰,۴۰	۰,۸۱	۰,۹۳	۱,۲۶	۰,۸۵	۱,۱۳	
Na ₂ O	۱,۶۸	۲,۱۸	۳,۷۲	۲,۴۴	۲,۹۲	۲,۶۴	۴,۹۱	۲,۷	۳,۸۳	
K ₂ O	۴,۰۷	۲,۴۵	۲,۰۸	۳,۰۴	۲,۸۰	۲,۰۱	۰,۸۷	۲,۸	۱,۹۸	
P ₂ O ₅	۰,۳۱	۰,۱۹	۰,۱۷	۰,۱۴	۰,۳۴	۰,۳۰	۰,۱۷	۰,۱۵	۰,۲۵	
L.O.I.	۴,۱۰	۲,۳۰	۲,۶۰	۳,۴۰	۳,۴۰	۳,۵۰	۲,۸۲	۲,۹۶	۲,۵۵	
Total	۹۹,۷۷	۹۹,۸۰	۹۹,۷۸	۹۹,۸۱	۹۹,۷۹	۹۹,۸۱	۹۹,۷۸	۹۸,۸۲	۱۰۰	
Ba	۷۲۷	۵۶۶	۴۸۰	۵۲۴	۵۱۸	۴۴۴	۲۸۴	۵۰۳	۳۳۶	
Rb	۱۳۹	۷۸,۸۰	۶۵۶۰	۹۷,۳۰	۹۱,۴۰	۷۱,۸۰	۲۲۸۰	۷۸	۶۲,۲۰	
Sr	۷۳,۸۰	۱۲۱,۷۰	۱۶۷,۸۰	۱۱۴,۱۰	۱۲۷	۸۸,۱۰	۱۱۰,۱۰	۷۸	۱۰۸,۸۰	
Zr	۱۷۸,۹۰	۲۰۱,۲۰	۲۰۷,۴۰	۱۸۴,۴۰	۲۰۱,۸۰	۲۵۷,۶۰	۲۸۹,۳۰	۱۶۰	۲۱۰,۶	
Nb	۱۲,۴۰	۱۲,۶۰	۱۰,۷۰	۱۲,۵۰	۱۲,۰	۱۳,۸۰	۱۱,۴۰	۱۰	۱۱,۳۰	
Ni	۵۵	۵۶	۴۷	۵۸	۵۳	۴۸	۲۲	۳۶	۳۵	
Co	۲۲,۳۰	۱۸,۸۰	۱۳,۱۰	۱۳,۸۰	۱۲,۵۰	۱۴,۷۰	۷,۰	۷,۰	۱۱,۹	
Cr	۱۲۳	۱۳۰	۱۵۷	۲۴۶	۱۸۵	۱۶۴	۱۰,۹,۴۷	۵۳	۱۶۷	
La	۴۱,۶۰	۴۰,۰۰	۲۷,۵۰	۳۵,۷۰	۳۵,۴۰	۳۱,۵۰	۴۴,۷۰	-	۲۳,۸۰	
Hf	۵,۰۰	۵,۵۰	۵,۵۰	۵,۳۰	۵,۵۰	۶,۴۰	۷,۸۰			
Th	۱۰,۶۰	۱۱,۶۰	۹,۹۰	۱۰,۵۰	۱۰,۸۰	۷,۸۰	۱۶	۱۱	۱۱,۲۰	
U	۲,۷۰	۲,۱۰	۱,۵۰	۱,۹۰	۲,۰۰	۱,۹۰	۱,۵۰	۷	۱,۱۰	
V	۱۱۶	۱۰۹	۸۷	۱۱۱	۱۱۰	۱۴۴	۶۴	۸۲	۹۴,۸۰	
Sc	۱۴	۱۵	۱۱	۱۴	۱۴	۱۷	۱۰	-	۹,۳۰	

L. O. I= Loss-on-ignition; Fe₂O₃*= as Fe total

گنایس شمال شهرکرد بایستی به سن قدیمی سنگ خاستگاه آنها دقت کرد و از این منظر بایستی مستقل از رویدادهای بازشدن، گسترش، فرورانش و بسته شدن اقیانوس‌های پالئوتیس و نئوتیس مورد بررسی و ارزیابی قرار گیرند.

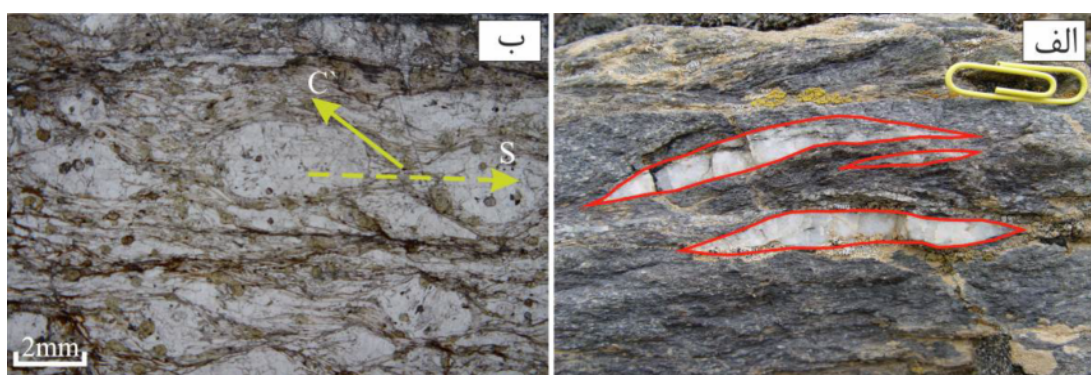
گنایس‌های مورد بررسی در منطقه همراه با سنگ‌های متابازیت و مرمر هستند ولی از فراوانی کمتری نسبت به شیستهای بخوردارند. شواهد صحرایی به خوبی نشان‌دهنده‌ی تناوب گنایس‌ها و مرمرهای شواهدی از نفوذ توده‌های گنایسی درون مرمرها مشاهده نشد. از آنجاییکه بدون هیچ تردیدی خاستگاه سنگ‌های مرمر که دارای کانی‌شناسی بسیار ساده‌ی کلیست و به میزان نسبتاً کمی میکای سفید فنتزیتی هستند، رسوی بوده و احتمالاً سنگ خاستگاه این مرمرها، سنگ‌های آهکی با کمی رس هستند. گنایس‌های نامبرده دارای تناوب روشنی با این مرمرهای کربناتی هستند، تنها تفسیری که برای حضور تؤامان این مجموعه می‌توان عنوان کرد حضور یک حوضه رسوی بوده که در آن ماسه‌سنگ گریوکی به همراه آهک (کمی رس‌دار) ته نشست یافته و در ادامه در این حوضه‌ی رسوی فوران‌های بازالتی رخ داده است. تناوب واحدهای سنگی فقط منحصر به مرمر و گنایس‌ها نبوده بلکه مرمرها و متابازیت‌های بصورت لایه‌ای نیز دارای تناوب بوده که می‌توان آن را به واسطه‌ی حضور یک حوضه رسوی همراه با فوران گدازه‌های بازالتی توجیه و تفسیر کرد.

این گنایس‌ها از نظر کانی‌شناسی دارای کوارتز، فلدسپات‌های قلایابی و پلاژیوکلاز، موسکویت فنتزیتی، گارنت، تورمالین، بیوتیت، آپاتیت، روتیل، زیرکن و نیز دارای کلریت به صورت کانی ثانویه هستند. موسکویت فنتزیتی در این سنگ‌ها به رنگ صورتی و یا سبز کم رنگ بوده که ناشی از حضور آهن و یا کروم در این میکاست. مجموعه کانی‌شناسی فوق به همراه حضور کانی با فشار بالای روتیل نشان‌دهنده‌ی تشکیل آنها در شرایط دگرگونی فشار بالاست. حضور گارنت فراوان به همراه بلورهای میکا می‌تواند بیشتر بیانگر یک خاستگاه رسوی برای این گنایس‌ها باشد.

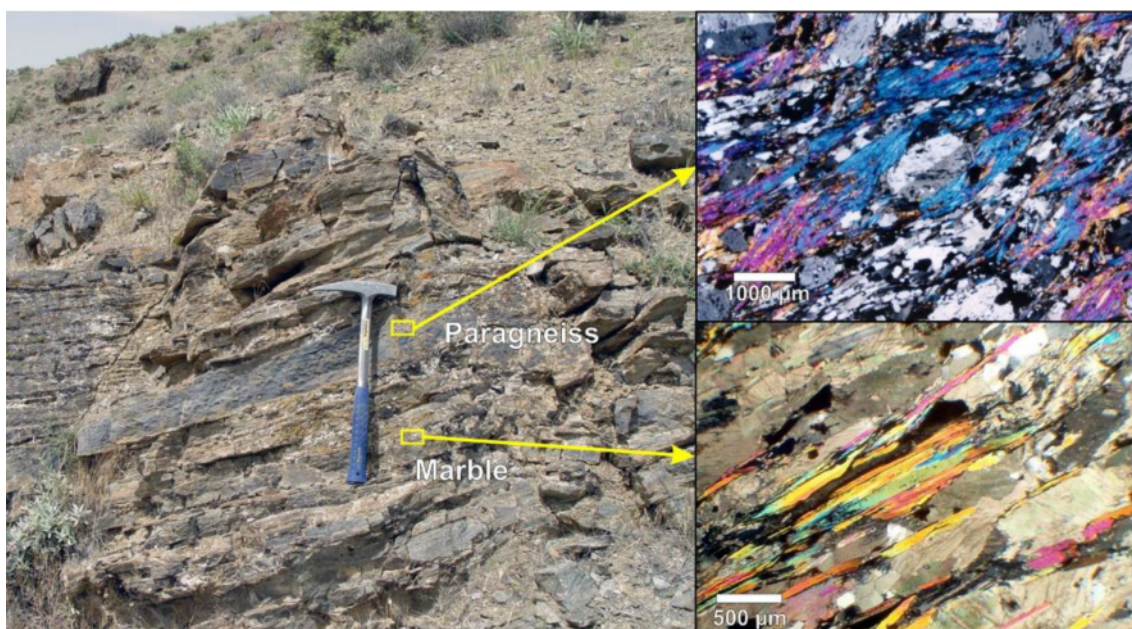
تشخیص پروتولیت (سنگ خاستگاه یا سنگ مادر)

چنانکه در مقدمه اشاره شد یکی از راههای تفکیک و شناسایی پروتولیت رسوی و آذرین گنایس‌ها استفاده از شواهد صحرایی است، چنانکه در (شکل ۳) ملاحظه می‌شود گنایس‌ها با مرمرها دارای تناوب بوده که نشانه مهمی برای اشتقاء از پروتولیت رسوی است. بی تردید خاستگاه لایه‌های مرمر، آهک بوده است.

شدید سنگ‌های منطقه بررسی شده است. این منطقه بخشی از نقشه‌ی زمین‌شناسی چهارگوش ۱:۲۵۰۰۰ شهرکرد [۱۵] و نقشه‌ی زمین‌شناسی ۱:۱۰۰۰۰ چادگان [۱۶] است. در گزارش نقشه زمین‌شناسی شهرکرد منطقه‌ی مورد بررسی به عنوان بخشی از واحد mt معرفی شده‌اند که مشتمل بر سنگ‌های دگرگونی تفکیک نشده بوده و سن آنها به پرکامبرین نسبت داده شده است، ولی در نقشه‌ی زمین‌شناسی چادگان به عنوان واحد $J_{1,2}^{met}$ معرفی شده‌اند که شامل سنگ‌های دگرگونی با خاستگاه ماسه‌سنگ، شیل، شیل ذغال‌دار به همراه گارنت‌آمفیبول‌شیست و گرانیت‌های گنایسی می‌شود [۱۷]. به علت حضور شواهد فسیلی (بلمنیت) در یک افق آهکی این واحد و نیز شباهت رخساره‌ای طبقات تخریبی موجود در زیر و روی این افق آهکی با سازندۀای شمشک و هجدک ایران مرکزی باعث شده تا [۱۶] سن ژوراسیک زیرین-میانی را به این واحد نسبت دهند. اما یافته‌های سال‌سنگی مطلق به روش U-Pb کانی زیرکن [۳] نشان‌دهنده‌ی این است که سنگ‌های دگرگون شمال شهرکرد در واقع بخشی از پی‌سنگ پرکامبرین ایران زمین هستند که در حواویث وابسته به فرورانش نئوتیس دگرگون و دگرشكل شده‌اند [۱۴، ۳]. با توجه به بررسی‌های صورت گرفته توسط [۱] منطقه‌ی مورد بررسی در مقیاس WNW-ESE، بزرگ یک پهنه‌ی برشی شکل‌بذیر با روند تغییراتی در این سنگ‌های دگرگون شهربکد در حالت برخورد اقیانوس-قاره و یا برخورد قاره-قاره شباهت بیشتری دارد. از این‌رو بیشتر سنگ‌های دگرگونی این منطقه دارای آثار دگرشكلی هستند [۱۷]. با توجه به شواهد صحرایی، فابریک اصلی قابل رویت در گنایس‌های مورد بررسی فابریک S/C است که در واقع وابسته به سطح برگواره و C به سطح برش است، که با توجه به ردبهندی [۱۸] این نوارها یا نوارهای برشی از نوع C' است و حرکت راستبر را نشان می‌دهد که احتمالاً در اثر فاز اصلی دگرشكلی حاکم بر سنگ‌های منطقه ایجاد شده است، علاوه بر این ریبون‌های کوارتز با حرکت برشی راستبر نیز قابل رویت هستند (شکل ۲ الف و ب)، علاوه بر این ظهور خطواره میلیونیتی موازی با روند زاگرس نیز روی سطح گنایس‌های مورد بررسی قابل رویت است که در بسیاری موارد برگواره‌ها بصورت چین‌خورده هستند و در این حالت چندین نسل چین‌خورده را به نمایش می‌گذارند (شکل ۳). لذا در بررسی‌های سنگ‌زایی و تعیین موقعیت زمین‌ساختی پروتولیت



شکل ۲ الف: ریبون کشیده کوارتز با تقارن تک میل و دارای حرکت برشی راستبر، در یک نمونه از گنایس‌های مورد بررسی، ب: نوارهای برشی نوع C' (از سمت چپ بالا به سمت راست پایین) که برگواره اصلی سنگ (افقی) را در یک نمونه از گنایس‌های شمال شهرکرد قطع می‌کند، PPL.



شکل ۳ نمایی از رخمنون گنایس‌های منطقی شمال دریاچه‌ی سد زاینده‌رود که دارای برگوارگی گسترده، همچنین تناوب مرمر (رنگ روشن‌تر) و گنایس (رنگ تیره‌تر) در تصویر به همراه عکس‌های میکروسکوپی مشاهده می‌شود.

مثال، [۲۰] که صرفاً در سنگ‌های با خاستگاه ماقمایی یافت شده است).

برای تعیین خاستگاه رسوبی یا آذرین بودن یک سنگ دگرگون گنایسی می‌توان از ویژگی‌های ژئوشیمیایی استفاده کرد [۵]، بر همین مبنای یک نمودار تفکیک عناصر اصلی ساده‌ای برای سنگ‌های حدواسط تا اسیدی پیشنهاد شده [۲۱] که در (شکل ۴ الف) ارایه شده است. یک چنین نموداری ممکن است بتواند در تشخیص ارتو و پاراگنایس‌ها مفید باشد اما بایستی با احتیاط و دقت مورد استفاده قرار گیرد و شاید در پیوستگی و همراهی با دیگر پارامترها نظیر مقادیر نیگلی ۵ در

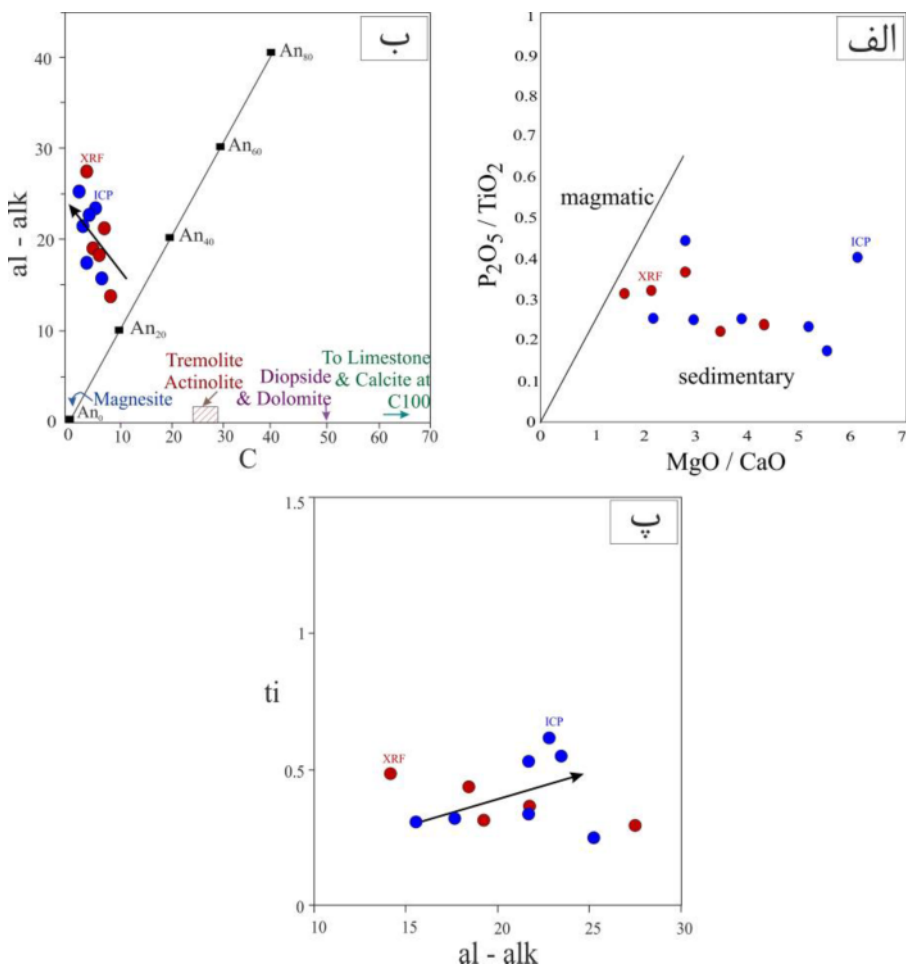
على الرغم مفید بودن ژئوشیمی در شناسایی انواع سنگ‌ها و شناسایی تغییرات شیمیایی طی دگرگونی، هیچ راه منحصریفردی برای تشخیص و تمایز برخی انواع سنگ‌ها که در صحرا مشابه هستند، وجود ندارد. به عنوان نمونه ژئوشیمی عناصر اصلی سنگ‌های رسوبی نوع گرایوک مشابه با تونالیت‌ها و ترونجمیت‌ها است، تنها الگوهای REE ممکن است در برخی موارد امکان تمایز را میسر سازد [۱۹]. با این وجود تعداد زیادی از آنالیزها، اغلب این امکان را محتمل می‌سازند تا تغییرات منظم عناصر اصلی و کمیاب تشخیص داده شود که می‌تواند به روندهای جدایش آذرین نسبت داده شود (به عنوان

نشان داده شده در سنگ‌های آذرین مختلف، بستگی زیاد به حضور مقادیر الیوین، کلینوپیروکسن، پلازیوکلаз (بویزه پلازیوکلاز کلسیک)، بیوتیت و غیره در سنگ دارد [۲۶]. در سنگ‌های با خاستگاه رسوی (پارا) برخلاف سنگ‌های با خاستگاه آذرین (ارتو) رابطه‌ی منفی بین al-alk و C [۲۷] و رابطه‌ی مثبت بین al-alk و ti است [۲۵]. گنایس‌های مورد بررسی در نمودار C در برابر al-alk [۲۸] روند منفی را نشان می‌دهند و در هیچ گروه از انواع مخلوط‌های رسوی نظر، پلیت-سنگ‌آهک، پلیت-دولومیت و روندهای متناوب حاصل از جدایش آذرین نیست، بنابراین دارای خاستگاه رسوی بوده و جزء پاراگنایس‌ها هستند (شکل ۴ ب) و در نمودار al-alk مقابله ti روند مثبتی را به نمایش می‌گذارند که این فرایند نیز تأیید‌کننده پاراگنایس بودن آنهاست (شکل ۴ پ).

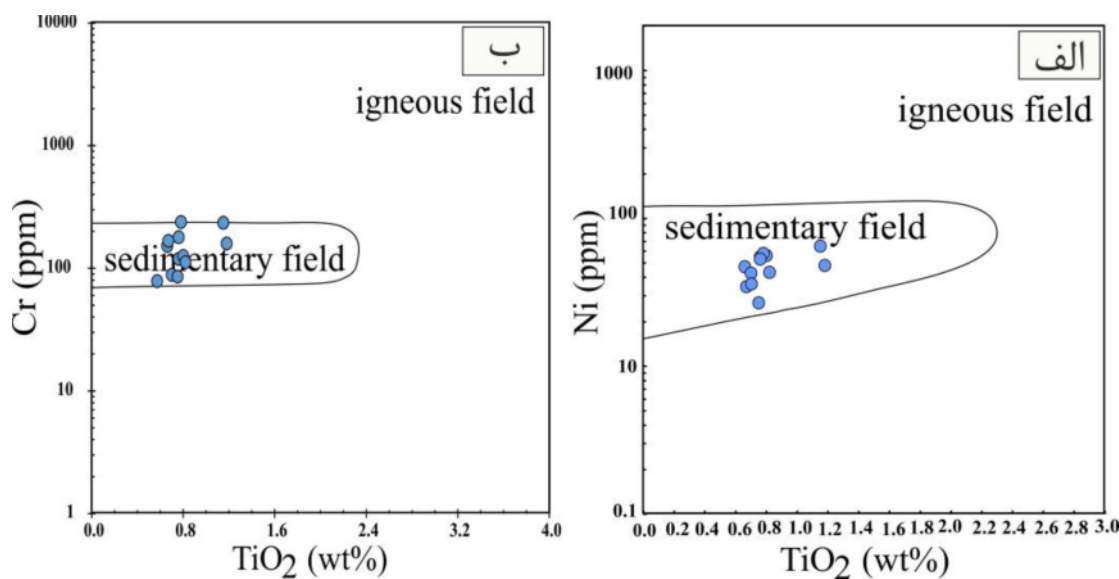
برابر al-alk [۲۲] و معیارهای سنگ‌شناسی بایستی به کار رود [۵].

چنانکه در (شکل ۴ الف) مشاهده می‌شود گنایس‌های مورد بررسی تماماً دارای خاستگاه رسوی هستند. بنابراین یکی از روش‌های مؤثر و مفید برای تفکیک گنایس‌های با خاستگاه آذرین (ارتوگنایس) از گنایس‌های با منشاء رسوی (پاراگنایس) استفاده از نمودارهای ژئوشیمیایی است که مبتنی بر آنالیز شیمیایی سنگ کل است. از طرف دیگر در سنگ‌های رسوی، مقادیر نیکلی ti و al در کانی‌های رسی مرکز است [۲۴، ۲۳] ولی رابطه مثبت بین ti و al در رسوی‌های حاوی فلدسپارهای تخریبی نیز مشاهده می‌شود [۲۵].

مقادیر نیکلی C و al-alk در سنگ‌های آذرین شدیداً به مودال سنگ وابسته است، این بدان معنی است که اختلافات



شکل ۴ الف: در نمودار P_2O_5/TiO_2 در مقابل MgO/CaO [۲۱] تمامی نمونه‌های گنایس شمال شهرکرد در گستره‌ی با خاستگاه رسوی واقع شده‌اند، ب: نمودار C در برابر al-alk [۲۸]، پ: نمودار ti در مقابل al-alk، تمامی نمونه‌های گنایس شمال شهرکرد در نمودار الف روند منفی و در نمودار ب روند مثبت را نشان می‌دهند.



شکل ۵ الف و ب: در نمودارهای Ni (ppm)، Cr (ppm) در مقابل (wt.%) TiO_2 نمونه‌های گنایس شمال شهرکرد تماماً در محدوده رسوی واقع شده‌اند.

تابعی را بر حسب درصد ارایه داده است که به قرار زیر محاسبه می‌شود:

$$\text{DF} = 10 / 44 - 0.21 \text{SiO}_2 - 0.32 \text{Fe}_2\text{O}_3 \text{ (total Fe)} - 0.98 \text{MgO} + 0.55 \text{CaO} + 0.54 \text{Na}_2\text{O} + 0.54 \text{K}_2\text{O}$$

مقادیر مثبت DF نشان‌دهنده‌ی یک خاستگاه احتمالی آذرین بوده، در حالی که مقادیر منفی یک خاستگاه رسوی را آشکار می‌سازد. در نمونه‌های گنایس مورد بررسی تابع DF دارای مقادیر منفی است که از -0.8 درصد تا بیش از -3 درصد متغیر هستند، بنابراین تمامی نمونه‌های گنایسی مورد بررسی به استناد این تابع دارای خاستگاه رسوی بوده و درصد مشارکت مواد آذرین در آنها ناچیز و یا نزدیک به صفر بوده است.

بررسی کانی زیرکن در پاراگنایس شمال شهرکرد زیرکن معمولاً کانی سنگین مشتق شده از گرانیت‌ها، آتشفشاری‌ها و منابع دگرگون شده بازیافتی است [۳۱]. غنی‌شدگی Zr بهوسله‌ی نسبت‌های بالای Zr/Sc و Zr/Sc در برابر SiO_2 در (شکل ۶ الف و ب) نشان داد که از بازسازی و یا مرتب سازی انتخابی عناصر در سنگ ریشه گرفته‌اند [۳۱]. در فرآیندهای جدایش سنگ‌های آذرین رفتارهای متفاوتی رانشان می‌دهند بدین صورت که Th رفتار ناسازگار و Sc رفتار سازگار دارد ازین‌رو نسبت Th/Sc نشانده‌ندی درجه جدایش آذرین است [۳۲]. نمونه‌های پاراگنایس شمال شهرکرد

باتوجه به عدم حضور کانی‌های رسوی در پاراگنایس مورد بررسی، روند مثبت نمودار al-alk در مقابل TiO_2 حاصل از حضور فلدسپارهای تخریبی در سنگ است (شکل ۴ پ). از فراوانی Cr و Ni نیز می‌توان به عنوان شاخص مفید دیگری برای بررسی خاستگاه سنگ‌های دگرگون استفاده کرد [۲۹]. چنانکه در نمودارهای Cr (ppm) و Ni (ppm) در مقابل TiO_2 (wt.%) مشاهده می‌شود (شکل ۵) نمونه‌های حاوی Cr بیشتر از ۲۰۰ ppm و Ni بیش از ۲۵۰ ppm احتمالاً ارتوگنایس و نمونه‌هایی که کمتر دارای این مقادیر هستند احتمالاً خاستگاه رسوی داشته و پاراگنایس هستند و در صورتیکه از حد معینی کمتر باشند باز هم دارای خاستگاه ارتو خواهند بود [۴] گنایس‌های مورد بررسی در نمودارهای Ni (ppm)، Cr (ppm) در مقابل TiO_2 (wt.%) روند خاصی را نشان نمی‌دهند، بطوری که رابطه آشکاری بین Ni و Cr وجود ندارد ازین‌رو، نمونه‌ها تماماً در گستره‌ی سنگ‌های با خاستگاه رسوی واقع شده و جزء پاراگنایس‌ها هستند (شکل ۵ الف و ب).

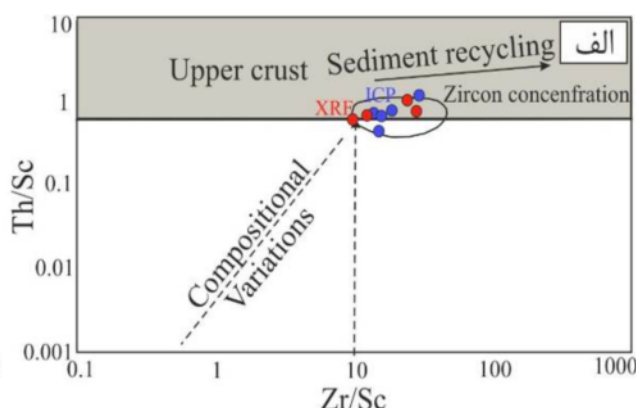
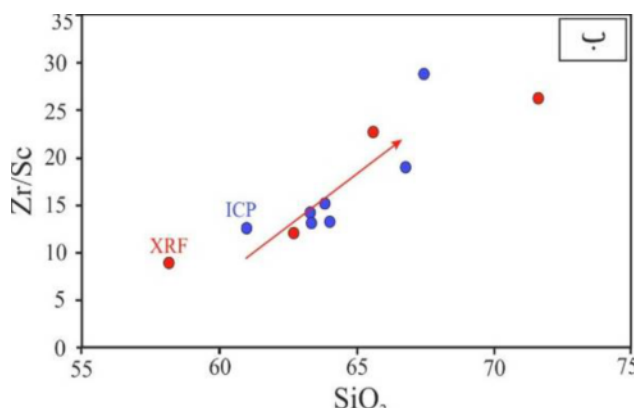
در مناطقی که نمی‌توان با استفاده از معیارهای زمین‌شناسی ماهیت و خاستگاه پیش از دگرگونی را تعیین کرد، به ویژه وقتی که پروتولیت‌ها آتشفشاری‌های سیلیسی و یا ماسه‌سنگ باشند، [۳۰] پیشنهاد داده است که معیارهای شیمیایی بکار گرفته شوند و به همین منظور این پژوهنده

جایگاه تکتونیکی

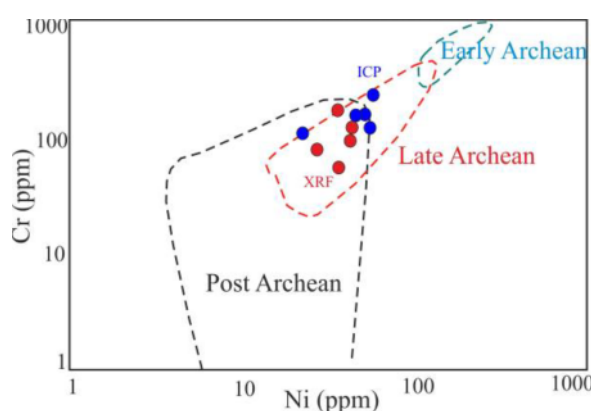
در قوس‌های آتشفسانی ترکیبات فلزیکی که سنگ خاستگاه La/Th سنگ‌های رسوبی را تشکیل می‌دهند حاوی نسبت‌های ppm کم و یکنواختی (کمتر از ۵ ppm) و حاوی Hf (حدود ۵-۷ ppm) هستند [۳۳].

نمونه‌های مورد بررسی حاوی La/Th (۱.۵۶-۴.۰۳ ppm) Hf (۷.۸-۱۰.۳ ppm) و در نمودار La/Th در مقابل Hf (۵-۷.۸ ppm) هستند و در نمودار La/Th در مقابل [۳۴] نمونه‌های پاراگنایس شمال شهرکرد در گستره‌ی اشتراق از منابع فلزیک جزایر قوسی قرار گرفته‌اند (شکل ۸ الف). این سنگ‌های پاراگنایس حاوی Eu/Eu* کمتر از ۱ ppm (۶۰.۸-۱۰۰.۴ ppm) Lan/Ybn و نسبت‌های Eu/Eu* از ۰.۴۵-۰.۷۱ ppm هستند. در نمودار برآورده‌ی La_n/Yb_n در مقابل Eu/Eu* از [۳۵] نمونه‌های مورد بررسی در گستره‌ی پشت کمان واقع شده‌اند که با لبه قاره‌ای و گسترده‌های قوس قاره‌ای منطبق می‌باشد (شکل ۸ ب).

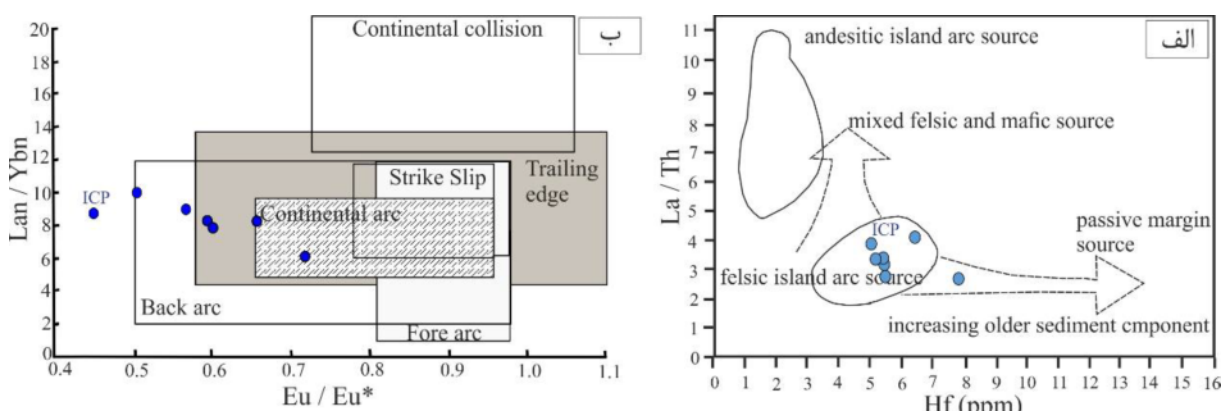
دارای نسبت Th/Sc (۰.۴۵-۱.۶ ppm) است که این مقدار حاکی از ورود از منابع آذرین پوسته‌ای تکامل یافته است [۳۱] و در نمودار Th/Sc در برابر Zr/Sc [۳۲] نمرکز زیرکن این سنگ‌ها، در گستره‌ی رسوب‌های بازیافتی وجود دارد (شکل ۶ الف) بنابراین کانی‌های زیرکن این سنگ‌ها موروثی بوده و سنگ خاستگاه فلزیک کانی زیرکن از یک پوسته‌ی آذرین نسبتاً تکامل یافته حاصل شده است که در موقعیت زمین-ساختی حاشیه‌ی فعال قاره‌ای و یا جزایر قوسی تشکیل شده است. نمونه‌های پاراگنایس شمال شهرکرد در نمودار Cr مقابل Ni [۳۲] تماماً در گستره‌ی اوخر آرکئن تا پسا آرکئن قرار گرفته‌اند (شکل ۷). این نمودار با سن سنجی [۳] ۶۳۷ ± ۱۷ Ma کانی‌های زیرکن به روش U-Ph (اول نوپروتوزوئیک) را برای پاراگنایس مورد بررسی با نام ارتوگنایس برآورده، کاملاً سازگار هست.



شکل ۶ میزان نمرکز و غنی شدگی زیرکن در پاراگنایس شمال شهرکرد، الف: نمودار Zr/Sc در برابر Th/Sc در برابر SiO₂. ب: نمودار Zr/Sc در برابر Cr در برابر Ni.



شکل ۷ Cr در مقابل Ni [۳۲] تمامی نمونه‌های پاراگنایس شمال شهرکرد در محدوده اوخر آرکئن تا بعد از آرکئن واقع شده‌اند.



شکل ۸ الف: La/Th در مقابل Hf [۳۴] نمونه‌های پاراگنایس شمال شهرکرد در محدوده اشتراق از منابع فلزیک جزایر قوسی واقع شده‌اند، ب: نمودار Lan/Ybn در مقابل Eu/Eu^* از [۳۵].

۵۹۶ و ۵۸۱ میلیون سال جوان‌ترین رده‌ی سنی بین زیرکن‌های بررسی شده است، در نتیجه می‌توان چنین فرض کرد که سن رسوبگذاری پروتولیت رسوبی (ماسه‌سنگ) این گنایس‌ها چند میلیون سال کمتر از این گروه سنی بوده است و واحدهای رسوبی پروتولیت این گنایس‌ها و مرمرها به همراه پروتولیت سنگ‌های شباهای شبه‌بازی (احتمالاً بازالت) همیافت در همبافت دگرگونی شمال شهرکرد، مربوط به انتهای نئوپرتوزوژنیک یعنی ایدیاکارن بوده است. این سن دقیقاً مشابه با سن نهشته شدن پروتولیت شیسته‌های همتافت دگرگون، سورسات در شمال غرب منطقه سندج - سیرجان است که توسط [۴۷] گزارش شده است.

شرایط اکسیژن‌گیری قدیمی

اورانیوم در شرایط اکسیدی و غلظت بالا بصورت گونه‌ای از تریکربنات‌هاست در حالی که در غلظت کم، اورانیوم (VI) به اورانیوم (IV) تبدیل خواهد شد بگونه‌ای که می‌تواند به راحتی از آب دریا برداشته شود و روی سطوح ذرات رسوب کند [۴۸، ۴۹]. در اصل محتوای کم اورانیوم در رسوب‌های تنه‌نشین شده در شرایط اکسیژن‌گیری محیط دریایی یافت می‌شود [۵۰، ۵۱]. در نتیجه این امر روی نسبت U/Th و محتوای اورانیوم اتوژنتیک بازتاب یافته است. محتوای U/Th [۰-۰۹] و U اتوژنتیک کم نمونه‌های مورد بررسی حاکی از آن است که سنگ خاستگاه رسوبی این گنایس‌ها در یک محیط اکسیدی ته نشین شده‌اند. از نسبت V/Cr به عنوان شاخص اکسیژن‌گیری قدیمی در بسیاری از پژوهش‌ها استفاده می‌شود [۵۲-۵۴]. مقدار V/Cr بالای ۲ نشان از شرایط غیر اکسیدی دارد در حالی که مقدادر کمتر از ۲ حاکی از شرایط اکسیدی بالاست [۵۵]. نسبت V/Cr نمونه‌های مورد بررسی (۱-۱۵۵)

سن نهشته‌گذاری پروتولیت رسوبی

سن نگاری U-Pb روی کانی‌های زیرکن تخریبی از رسوب‌های آواری و یا سنگ‌های دگرگونی با خاستگاه رسوبی با روش‌هایی نظری TIMS، SIMS، LA-ICP-MS یک روش متداول در بررسی‌های شناخت خاستگاه همخوانی رسوبی است [۳۶، ۳۷]. سن‌های U-Pb روی تک دانه‌های زیرکن تخریبی برای موارد زیر بکار رفته‌اند:

- ۱- شناسایی سازندگان خاستگاه یک واحد رسوبی [۳۸]-۲- همخوانی بین دنباله‌های رسوبی [۳۹]-۳- تعیین یک حد نهایی و بیشینه‌ای برای سن رسوبگذاری [۴۱-۴۹] و ۴- بررسی فرآیندهای شکل‌گیری در یک مقیاس گسترده‌ی قاره‌ای [۴۲-۴۶].

بنابراین یکی از راه‌های نسبتاً مطمئن برای تعیین سن رسوبگذاری و نهشته شدن یک واحد رسوبی که به شدت دگرگون شده باشد (منظور تعیین سن پروتولیت رسوبی یک سنگ دگرگونی) استفاده از این روش سن نگاری است. بر این مبنای سن جوان‌ترین دانه زیرکن تعیین سن شده به عنوان حد نهایی سن نهشته شدن پروتولیت رسوبی در نظر گرفته می‌شود و باقیستی سن رسوبگذاری چند میلیون سال از این جوان‌ترین سن بدست آمده روی زیرکن‌های تخریبی در نظر گرفته شود.

چنانکه در مقاله [۳] ملاحظه می‌شود سن‌های بدست آمده به روش U-Pb بر روی ۱۴ دانه‌ی زیرکن از یک نمونه گنایس در شمال دریاچه زاینده‌رود بین ۵۸۱ تا ۲۱۵۹ میلیون سال پیش متغیر است. سن‌های خیلی قدیمی در مرکز و ۱۹۵۱ میلیون سال قبل در حاشیه یک بلور زیرکن، در حقیقت وابسته به زیرکن‌های موروثی است که می‌تواند چندین بار طی فرسایش و نهشته گذاری بازیافت شده باشد. از آنجاکه سن‌های

۲- شواهد سنگنگاری: در اکثر موارد زیرکن‌های تخریبی که معمولاً بخوبی گرد شده‌اند و آنهایی که دارای خاستگاه آذرین‌اند خودشکل (ائوهدرال) می‌باشند، ولی این فرآیند همواره صادق نیست زیرا علت حفظ شکل ظاهری و اولیه‌ی زیرکن‌های ماقمایی بصورت خودشکل می‌تواند بدلیل فاصله کم محل تولید رسوب (یعنی سنگ مادر گرانیتی این زیرکن‌ها) با حوضه رسوبی بوده باشد که سنگ خاستگاه در آن رسوبگذاری کرده و ته نشست شده است.

۳- شواهد ژئوشیمیایی: شواهد ژئوشیمیایی نظری نمودار P_2O_5/TiO_2 در مقابل MgO/CaO ، مقادیر نیگلی c در برابر $al\text{-}alk$, ti , Cr و Ni استفاده شد که تمامی شواهد دال بر وجود پروتولیت رسوبی (پار) برای گنایس مورد بررسی است.

نمودارهای جدایشی ترکیب شیمیایی سنگ خاستگاه نیز حاکی از حصول سنگ خاستگاه از منابع آذرین فلزیک پوسته‌ای تکامل‌یافته است و نیز کانی‌های زیرکن این سنگ‌ها نیز برخلاف تشخیص‌های قبلی که آنها را ماقمایی می‌دانستند، بر اساس نمودار Th/Sc در برابر Zr/Sc از نوع بازیافتی و موروثی تشخیص داده شد که تأییدکننده‌ی شکل‌گیری سنگ خاستگاه فلزیک کانی زیرکن از یک پوسته آذرین نسبتاً تکامل‌یافته است.

از نظر شرایط شکل‌گیری پاراگنایس شمال شهرکرد، شاخص ردوکس (اکسایش-کاهش) (نسبت Ni/Co) و نسبت‌های U/Th , V/Cr حاکی از یک محیط اکسیدی تا نیمه اکسیدی برای آنهاست. در نمودار Cr در مقابل Ni نمونه‌ها تماماً در گسترده‌ی اول آرکن تا بعد از آرکن قرار گرفته‌اند $U-Pb$ ازین‌رو این نمودار با سن‌سنگی کانی‌های زیرکن به روش که سن اوائل نئوپروتروزوئیک را برای پاراگنایس مورد بررسی با نام ارتوگنایس برآورد کرده کاملاً سازگار است و از نظر موقعیت زمین‌ساختی در موقعیت زمین‌ساختی حاشیه‌ی فعال قاره‌ای، در گسترده‌ی پشت کمان واقع شده‌اند که باله قاره‌ای و محدوده‌های قوس قاره‌ای مطابقت دارد. حاصل این پژوهش بخوبی نشان می‌دهد که سنگ خاستگاه گنایس‌های میزبان اکلوژیت‌های شمال شهرکرد، به عنوان تنها سنگ‌های با فشار بالای رخساره اکلوژیت در کوهزایی زاگرس رسوبی بوده است، و بنابراین فوران‌های گدازه‌های بازی پروتولیت این اکلوژیت‌ها در یک حوضه رسوبی به همراه رسوبات ته نشین شده‌اند. بنابراین گنایس‌های شمال دریاچه سد زاینده‌رود، منطقه‌ی چادگان، ارتوگنایس نبوده بلکه پاراگنایس هستند، در نتیجه سن‌های

(۰/۴۵) است که حاکی از شرایط اکسیدی زمان ته نشست رسوب‌های سازنده‌ی سنگ خاستگاه برای این پاراگنایس‌ها هستند. برخی از پژوهندگان [۵۶، ۵۷] از نسبت Ni/Co به عنوان شاخص ردوکس (اکسایش-کاهش) استفاده کردند. بنابر [۵۵] پیشنهاد آنها نسبت Ni/Co کمتر از ۵ شاخص محیط‌های اکسیدی و نسبت‌های بالای ۵ شاخص محیط‌های غیراکسیدی و نیمه اکسیدی است. در این پژوهش نسبت Ni/Co در پاراگنایس شمال شهرکرد (۵/۱۴-۵/۴۷) است که حاکی از یک محیط اکسیدی تا نیمه اکسیدی برای تشکیل سنگ خاستگاه این پاراگنایس‌هاست.

برداشت

پاراگنایس‌های کمپلکس دگرگون شمال شهرکرد به عنوان بخشی از پهنه‌ی سندج-سیرجان محدود به منطقه‌ی برشی بوده و شواهدی از تأثیر چندین فاز دگرگونی و دگرشکلی را به نمایش می‌گذارند. با توجه به سن سنگی صورت گرفته روی پاراگنایس مورد بررسی سن اوائل نئوپروتروزوئیک را برای آن برآورده‌کرده‌اند که بیانگر سن قدیمی آنها و مستقل بودن فرآیند شکل‌گیری و تشکیل آنها از رویدادهای گسترش، فرورانش و بسته شدن اقیانوس‌های پالئوتیس و نئوتیس است، ولی پس از تشکیل این سنگ‌ها، فازهای دگرگونی و دگرشکلی بعدی به ویژه وابسته به کوهزایی زاگرس بر روی آنها تأثیر گذاشته است. یکی از شواهد مهم این واقعیت ظهور خطواره میلونیتی موازی با روند زاگرس و فابریک اصلی قابل رویت در پاراگنایس‌های مورد بررسی فابریک S/C است که حرکت راستبر را نمایان می‌سازد. که احتمالاً در اثر فاز اصلی دگرشکلی منطقه‌ی متأثر از کوهزایی زاگرس ایجاد شده است. علیرغم تشخیص‌های متفاوت در مورد پروتولیت گنایس مورد بررسی، شواهد صحرایی و ژئوشیمیایی زیر مoid پاراگنایس بودن و رد ارتوگنایس بودن سنگ‌های مورد بررسی هستند به گونه‌ای که:

۱- شواهد صحرایی: در منطقه‌ی مورد بررسی سنگ‌های همراه با گنایس مورد بررسی عبارتند از سنگ‌های متابازیت و مرمر. شواهد صحرایی به روشنی نشان‌دهنده‌ی تناوب گنایس‌ها، مرمرها و متابازیت‌ها هستند که هیچگونه شاهدی از نفوذ توده‌های گنایسی درون مرمرها و متابازیت‌ها نیست. این پدیده تأییدکننده حضور یک حوضه رسوبی بوده که در آن ماسه‌سنگ گریوکی به همراه آهک (کمی رس‌دار) تهنشست یافته و این نهشته‌گذاری توأم با فوران‌های بازالتی در این حوضه رسوبی رخداده است.

- [4] Leake B. E., "The chemical distinction between *ortho*-and *para*-amphibolites", *Journal of Petrology* 5 (1964) 238-254.
- [5] Paschier C. W., Myers J. S., Kröner A., "Field geology of high grade gneiss terrains", Springer Verlag (1990) 151p.
- [6] Paul A., Hatzfeld D., Kaviani A., Tatar M., Péquegnat C., "Seismic imaging of the lithospheric structure of the Zagros mountain belt (Iran)", Geological Society, London, Special Publications 330 (2010) 5-18.
- [7] Grew E. S., "A review of Antarctic granulite-facies rocks", *Tectonophysics* 105 (1984) 177-191.
- [8] Schreyer W., "Metamorphism of crustal rocks at mantle depths-high-pressure minerals and mineral assemblages in metapelites", *Fortschritte der Mineralogie* 63 (1985) 227-261.
- [9] Mohajjal M., Fergusson C. L., Sahandi M. R., "Cretaceous-Tertiary convergence and continental collision, Sanandaj-Sirjan Zone, western Iran", *Journal of Asian Earth Sciences* 21 (2003) 397-412.
- [10] Hassanzadeh J., Stockli D. F., Horton B. K., Axen G. J., Stockli L. D., Grove M., Schmitt A. K., Walker J. D., "U-Pb zircon geochronology of late Neoproterozoic-Early Cambrian granitoids in Iran: Implications for paleogeography, magmatism, and exhumation history of Iranian basement", *Tectonophysics* 451 (2008) 71-96.
- [11] Badr M. J., Collins A. S., Masoudi F., "The U-Pb age, geochemistry and tectonic significance of granitoids in the Soursat Complex, Northwest Iran", *Turkish Journal of Earth Sciences* 22 (2013) 1-31.
- [12] Mohajjal M., Fergusson C. L., "Dextral transpression in Late Cretaceous continental collision, Sanandaj-Sirjan Zone, Western Iran", *Journal of Structural Geology* 22 (2000) 1125-1139.
- [13] Shakerardakani F., Neubauer F., Masoudi F., Mehrabi B., Liu X., Dong Y., Mohajjal M., Monfaredi B., Friedl G., "Pan-african basement and Mesozoic gabbro in the Zagros orogenic belt in the Dorud-Azna region (NW Iran): Laser-ablation ICP-MS zircon ages and geochemistry", *Tectonophysics* 647 (2015) 146-171.
- [14] Davoudian A. R., Genser J., Dachs E., Shabanian N., "Petrology of eclogites from north of Shahrekord, Sanandaj-Sirjan Zone, Iran", *Mineralogy and Petrology* 92 (2008) 393-413.
- [۱۵] زاهدی م، نقشه زمین‌شناسی چهارگوش شهرکرد، مقیاس ۱:۲۵۰۰۰، سازمان زمین‌شناسی کشور، (۱۳۷۱).

اوائل نشوپروتزوژنیک در حقیقت سن تبلور پروتوولیت گرانیتی برای ارتوگنایس نیستند بلکه این سن به زیرکن‌های تخریبی با خاستگاه آذربین است که در پروتوولیت رسوی این پاراگنایس‌ها یعنی ماسه‌سنگ، حضور یافته، که نکته‌ای بسیار مهم است زیرا اگر گنایس‌های این منطقه را ارتوگنایس فرض کنیم، این تصور غلط در این پژوهش صورت گرفته توسط [۳] پیش می‌آید که سن 17 ± 637 Ma مربوط به قدیمی‌ترین سنگ آذربینی است که در ایران تاکنون شناخته شده است، در حالی که چنین نیست و سن‌های مشابهی از زیرکن‌های تخریبی را [۵۸] از واحدهای ماسه‌سنگی قدیمی‌ترین سازندهای چینه‌شناسی ایران (کهر، بایندر، باروت، لالون و میلا) در منطقه‌های البرز و زاگرس گزارش کرده‌اند، که بین ۵۵۰ تا ۹۵۰ میلیون سال پیش با بیشترین فراوانی، ۶۰۰ میلیون سال قبل بوده است. این درحالیست که مهمترین سن‌های گزارش شده توسط [۳] نیز همین محدوده‌ی سنی را نشان می‌دهد. از طرف دیگر حتی حضور زیرکن‌های خود شکل در یک گنایس نمی‌تواند الزاماً دلیلی بر گرانیتی بودن سنگ مادر گنایس باشد، زیرا در صورتی که فاصله بین خاستگاه رسوی و حوزه‌ی کوتاه باشد، همهی بلورهای زیرکن لزوماً گرد شده نیستند و می‌توانند تا حدودی خود شکل نیز باقی بمانند.

قدرتانی

این پژوهش با حمایت مالی دانشکده‌ی منابع طبیعی و علوم زمین دانشگاه شهرکرد به انجام رسیده است که بدین‌وسیله تشکر و قدردانی می‌شود.

مراجع

- [۱] داودیان دهکردی ع. ر، "تحول تکتونو-متامورفیسم و ماقماتیسم در ناحیه شهرکرد - داران (زون سنندج - سیرجان)"، پایان‌نامه دکتری، دانشگاه اصفهان، (۱۳۸۴) ۲۱۸ صفحه.
- [2] Davoudian, A.R., Genser, J., Neubauer, F., Shabanian, N., " $^{40}\text{Ar}/^{39}\text{Ar}$ mineral ages of eclogites from North Shahrekord in the Sanandaj-Sirjan zone, Iran: Implications for the tectonic evolution of Zagros orogeny", (2016) *Gondwana Research*, doi: 10.1016/j.gr.2016.05.013.
- [3] Nutman A. P., Mohajjal M., Bennett V. C., Fergusson C. L., "Gondwanan Eoarchean Neoproterozoic ancient crustal material in Iran and Turkey: zircon U-Pb-Hf isotopic evidence", *Canadian Journal of Earth Science* 51(2014) 272-285.

- Neoproterozoic shales of the Rabanpalli Formation, Bhima Basin, Northern Karnataka, southern India: implications for provenance and paleoredox conditions", Revista Mexicana de Ciencias Geologicas 24 (2007) 150-160.*
- [30] Shaw D. M., "The origin of the Apsley gneiss, Ontario", Canadian Journal of Earth Sciences 9 (1972) 18-35.
- [31] Cingolani C. A., Manassero M., Abre P., "Composition, provenance, and tectonic setting of Ordovician siliciclastic rocks in the San Rafael block: Southern extension of the Precordillera crustal fragment, Argentina", Journal of South American Earth Sciences 16 (2003) 91-106.
- [32] McLennan S. M., Hemming S., McDaniel D. K., Hanson G. N., "Geochemical approaches to sedimentation, provenance, and tectonics. Processes Controlling the Composition of clastic sediments", GSA Special 284 (1993) 21-40.
- [33] Cai G., Guo F., Liu X., Sui S., "Elemental and Sr-Nd isotopic compositions of Cenozoic sedimentary rocks from the Dongying Sag of Jiyang depression, North China: Implications for provenance evolution", Geochemical Journal 45 (2011) 33-55.
- [34] Floyd P. A., Leveridge B. E., "Tectonic environment of the Devonian Gramscatho basin, south Cornwall: framework mode and geochemical evidence from turbiditic sandstones", Journal of the Geological Society London 144 (1987) 531-542.
- [35] McLennan S. M., Taylor S. R., McCulloch M. T., Maynard J. B., "Geochemical and Nd-Sr isotopic composition of deep-sea turbidites: Crustal evolution and plate tectonic associations", Geochimica et Cosmochimica Acta 54 (1990) 2015-2050.
- [36] Andersen T., "Detrital zircons as tracers of sedimentary provenance: limiting conditions from statistics and numerical simulation", Chemical Geology 216 (2005) 249-270.
- [37] Fedo C. M., Sircombe K. N., Rainbird R. H., "Detrital zircon analysis of the sedimentary record", Reviews in Mineralogy and Geochemistry 53 (2003) 277-303.
- [38] Haas G. J. L., de Andersen T., Vestin J., "Detrital zircon geochronology: new evidence for an old model for accretion of the Southwest Baltic Shield", Journal of Geology 107 (1999) 569-586.
- [39] Bingen B., Birkeland A., Nordgulen Q., Sigmond E. M., "Correlation of supracrustal sequences and origin of terranes in the Sveconorwegian orogen of SW Scandinavia: SIMS data on zircon in clastic metasediments", Precambrian Research 108 (2001) 293-318.
- [16] قاسمی ع.، حاج حسینی ا.، حسینی م.، "نقشه زمین شناسی ۱:۱۰۰۰۰ ورقه چادگان"، سازمان زمین شناسی و اکتشافات معدنی کشور (۱۳۸۵).
- [17] شبانیان بروجنی ن.، "تحلیلی پترولوجیکی بر سنگ‌های دگرگونی شمال دریاچه زاینده‌رود با نگرشی ویژه به پلی-متامورفیسم"، پایان‌نامه کارشناسی ارشد، دانشگاه اصفهان، صفحه ۲۵۸ (۱۳۷۷).
- [18] Passchier C. W., Trouw R. A. J., "Microtectonics", Springer-Verlag, Berlin, Heidelberg (2005) 289 p.
- [19] Taylor S. R., McLennan S., "The Continental Crust: Its Composition and Evolution", Blackwell, Oxford (1985) 312 p.
- [20] Tarney J., Weaver B. L., "Geochemistry of the Scourian complex: petrogenesis and tectonic models: In: Park RG, Tarney J (eds) Evolution of the Lewisian and comparable Precambrian high grade terrains", Geol Soc Spec Pub 127 (1987) 45-56.
- [21] Werner C. D., "Saxonian granulites - igneous or lithogenous: A contribution to the geochemical diagnosis of the original rocks in high-metamorphic complexes. In: Gerstenberger H (ed) Contributions to the geology of the Saxonian granulite massif (Sachsenisches Granulitgebirge)", ZfL-Mitteilungen Nr 133 (1987) 221-250.
- [22] Burri C., "Petrochemische Berechnungsmethoden auf aquivalenter Grundlage", Birkenhauser, Basel (1959) 334 p.
- [23] Lange J., "Geochemische Untersuchungen an Sedimenten des Persischen Golfes", Contrib. Mineral. Petrol 28 (1970) 288-395.
- [24] Senior A., Leake B. E., "Regional metamorphism and the geochemistry of the Dalradian metasediments of Connemara, western Ireland", Journal of Petrol 19 (1978) 585-625.
- [25] Bjørlykke K., "Petrology of Ordovician sediments from Wales", Norsk geol. Tidsskr 51 (1971) 123-139.
- [26] Leak B. E., "Some metasomatic alkali-magnesian ilicate rocks from Connemara, western Ireland: mineralogical control of rock composition", Journal of American Mineralogist 65 (1980) 26-36.
- [27] Leak B. E., "The discrimination of ortho and para charnockitic rocks, anorthosites and amphibolites", Indian Minerals 10 (1969) 89-104.
- [28] Evans B. W., Leake B. E., "The composition and origin of the striped amphibolites of Connemara, Ireland", Journal of Petrol 1 (1960) 337-63.
- [29] Nagarajan R., Madhavaraju J., Nagendra R., Armstrong-Altrin J. S., Moutte J., "Geochemistry of

- [49] Nath B. N., Bau M., Ramalingeswara Rao B., Rao Ch. M., "Trace and rare earth elemental variation in Arabian Sea sediments through a transect across the oxygen minimum zone", *Geochimica et Cosmochimica Acta* 61 (1997) 2375-2388.
- [50] Somayajulu B. L. K., Yadav D. N., Sarin M. M., "Recent sedimentary records from the Arabian Sea", *Proceedings of the Indian Academy of Sciences* 103 (1994) 315-327.
- [51] Madhavaraju J., Ramasamy S., "Rare earth elements in limestones of Kallankurichchi Formation of Ariyalur Group, Tiruchirapalli Cretaceous, Tamil Nadu", *Journal of the Geological Society of India* 54 (1999) 291-301.
- [52] Ernst T. W., "Geochemical facies analysis", Elsevier, Amsterdam (1970) 152 p.
- [53] Bjørlykke K., "Geochemical and mineralogical influence of Ordovician island arcs on epicontinental clastic sedimentation: a study of Lower Palaeozoic sedimentation in the Oslo region: Norway", *Sedimentology* 21 (1974) 251-272.
- [54] Dill H., Teshner M., Wehner H., "Petrography, inorganic and organic geochemistry of Lower Permian Carboniferous fan sequences (Brandschiefer Series) FRG: constraints to their palaeogeography and assessment of their source rock potential", *Chemical Geology* 67 (1988) 307-325.
- [55] Jones B., Manning D. C., "Comparison of geochemical indices used for the interpretation of paleo-redox conditions in Ancient mudstones", *Chemical Geology* 111 (1994) 111-129.
- [56] Dill H., "Metallogenesis of early Paleozoic graptolite shales from the Graefenthal Horst (northern Bavaria-Federal Republic of Germany)", *Economic Geology* 81 (1986) 889-903.
- [57] Dypvik H., "Geochemical compositions and depositional conditions of Upper Jurassic and Lower Cretaceous Yorkshire clays, England", *Geological Magazine* 121 (1984) 489-504.
- [58] Horton B. K., Hassanzadeh J., Stockli D. F., Axen G. j., Gillis R. j., Guest B., Amini A., Fakhari M. D., Zamanzadeh S. M., Grove M., "Detrital zircon provenance of Neoproterozoic to Cenozoic deposits in Iran: Implications for chronostratigraphy and collisional tectonics", *Tectonophysics* 451 (2008) 97-122.
- [40] Knudsen T. L., Andersen T., "Petrology and geochemistry of the Tromoy gneiss complex, South Norway, an alleged example of Proterozoic depleted lower continental crust", *Journal of Petrology* 40 (1999) 909-933.
- [41] Williams I., "Response of detrital zircon and monazite, and their U-Pb isotopic systems, to regional metamorphism and host-rock partial melting, Cooma Complex, southeastern Australia", *Australian Journal of Earth Sciences* 48 (2001) 557-580.
- [42] Davis Donald W., "U-Pb geochronology of Archean metasedimentary rocks in the Pontiac and Abitibi subprovinces, Quebec, constraints on timing, provenance and regional tectonics", *Precambrian Research* 115 (2002) 97-117.
- [43] Goodge J. W., Myrow P., Williams I., Bowring S. A., "Age and provenance of the Beardmore Group, Antarctica: constraints on Rodinia supercontinent breakup", *The Journal of geology* 110 (2002) 393-406.
- [44] Barr S., Davis D., Kamo S., White C., "Significance of U-Pb detrital zircon ages in quartzite from peri-Gondwanan terranes, New Brunswick and Nova Scotia, Canada", *Precambrian Research* 126 (2003) 123-145.
- [45] Van Wyck N., Williams I., "Age and provenance of basement metasediments from the Kubor and Bena Bena Blocks, central Highlands, Papua New Guinea: constraints on the tectonic evolution of the northern Australian cratonic margin", *Australian Journal of Earth Sciences* 49 (2002) 565-577.
- [46] Griffin W., Belousova E., Shee S., Pearson N., O'Reilly S., "Archean crustal evolution in the northern Yilgarn Craton: U-Pb and Hf-isotope evidence from detrital zircons", *Precambrian Research* 131 (2004) 231-282.
- [47] Jamshidi Badr M., "Dating of Precambrian Metasedimentary Rocks and Timing of their Metamorphism in the Soursat Metamorphic Complex (NW IRAN): Using LA-ICP-MS, U-Pb Dating of Zircon and Monazite", *Journal of Sciences, Islamic Republic of Iran* 21 (2010) 311-319.
- [48] Barnes U.C., Cochran J. R., "Uranium removal in oceanic sediments and the oceanic U balance", *Earth and Planetary Science Letters* 97 (1990) 94-101.